

Σύνθεση Ειδικών Κατασκευών Σκυροδέματος

6. Σεισμική Μόνωση Γεφυρών

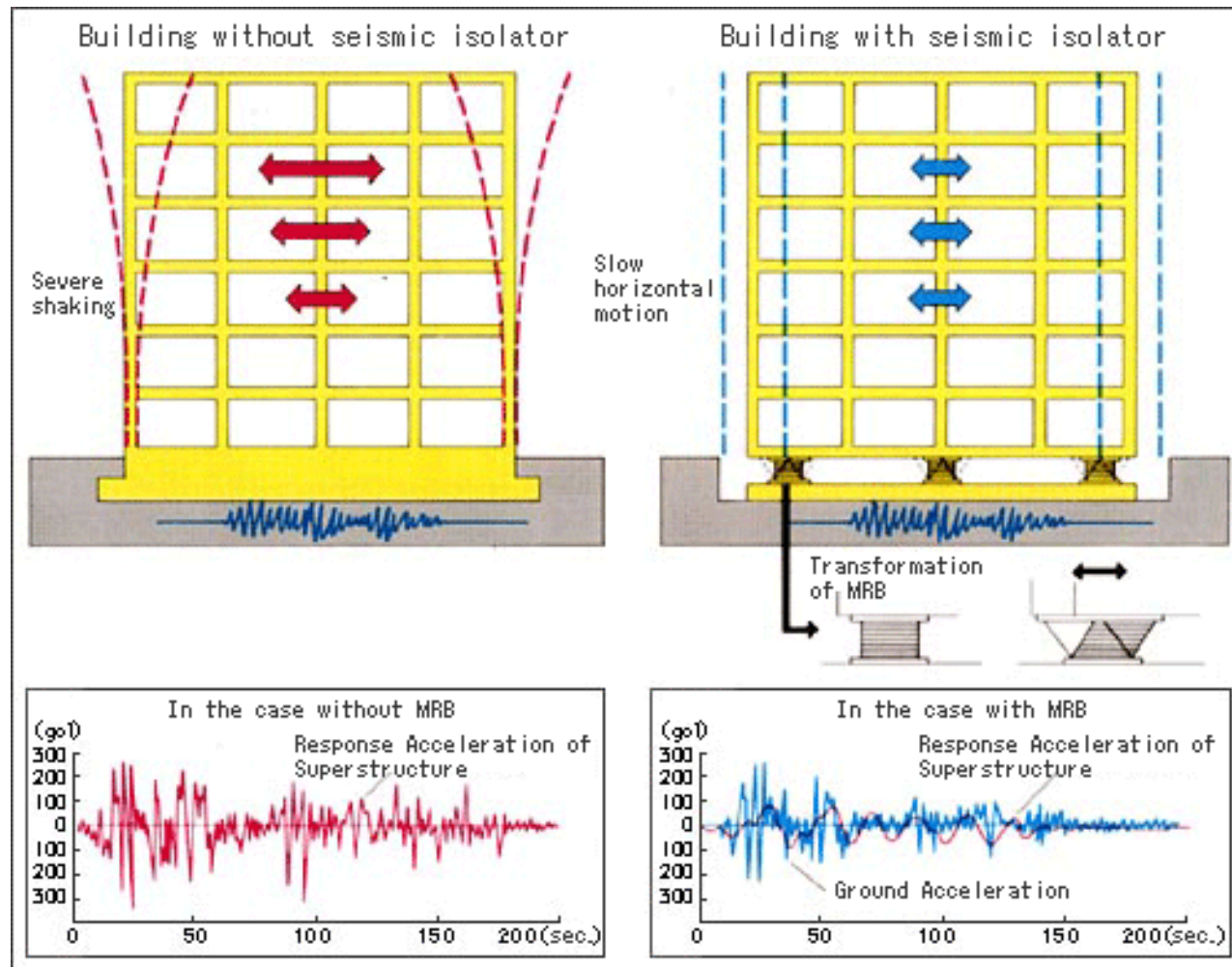
Τηλέμαχος Παναγιωτάκος

6. Σεισμική Μόνωση Γεφυρών

Στην ενότητα αυτή θα γίνει περιγραφή της σεισμικής μόνωσης γεφυρών. Αρχικά θα γίνει αναφορά στα διαθέσιμα συστήματα σεισμικής μόνωσης (**ελαστομεταλλικά εφέδρανα χαμηλής ή υψηλής απόσβεσης, εφέδρανα με πυρήνα μόλυβδου, εφέδρανα εικρεμούς τριβής, ιξώδεις αποσβεστήρες κλπ.**) και στη συνέχεια θα αναπτυχθεί η μεθοδολογία διαστασιολόγησής τους σύμφωνα με το μέρος 2 του Ευρωκώδικα 8. Θα αναλυθούν τα πλεονεκτήματα και τα μειονεκτήματα της σεισμικής μόνωσης των γεφυρών και θα παρουσιαστεί συγκριτικό παράδειγμα εφαρμογής σεισμικής μόνωσης γέφυρας.

Στόχος της ενότητας είναι ο φοιτητής να γνωρίζει τους τύπους των σεισμικών μονωτήρων και να είναι σε θέση να επιλέξει και να διαστασιογήσει τον κατάλληλο τύπο μονωτήρα για την γέφυρα.

Σεισμική Μόνωση

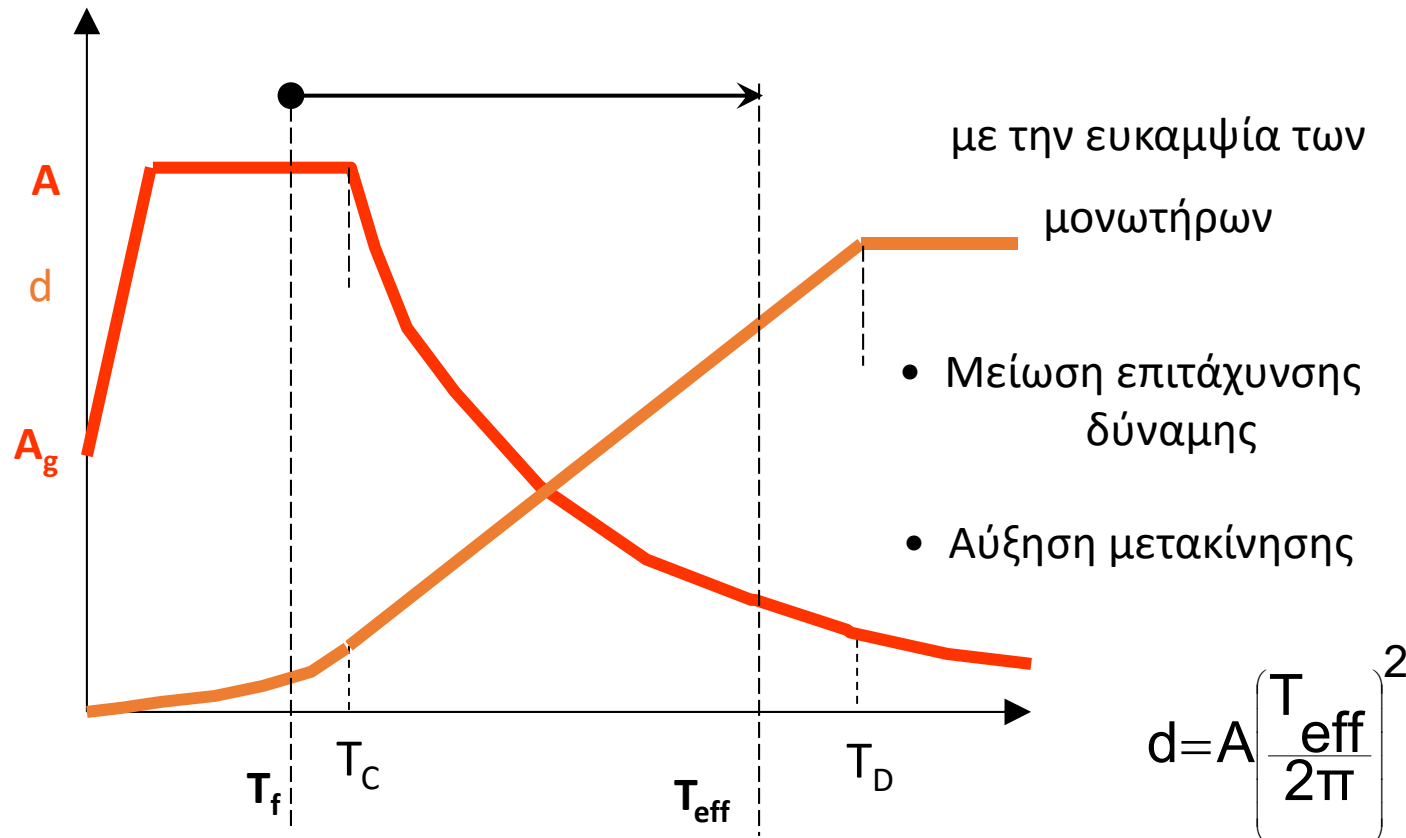


Εισαγωγή

- Συστήματα Σεισμικής Προστασίας:
 - Μονωτήρες
 - Ιξώδεις Αποσβεστήρες
 - Ενεργά συστήματα
 - Έξυπνα συστήματα

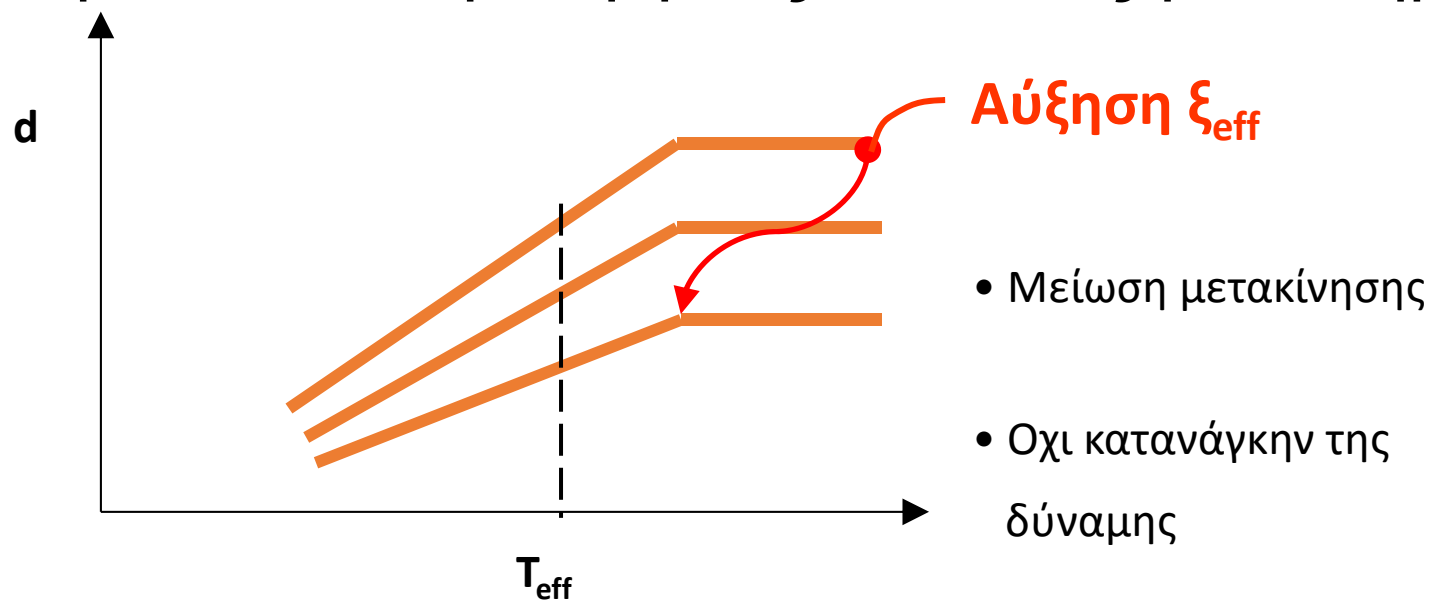
Μείωση απόκρισης

Μετάθεση Θεμελιώδου περιόδου T_{eff}



Μείωση απόκρισης

Αύξηση της απόσβεσης ξ_{eff}
με απόδοση ενέργειας από τους μονωτήρες



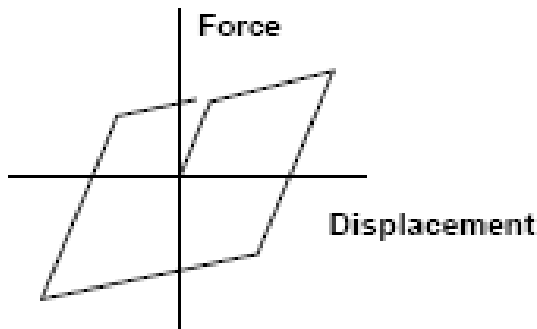
➤ Συνδυασμός αύξησης T_{eff} και ξ_{eff} (βέλτιστη)

Γενικές απαιτήσεις:

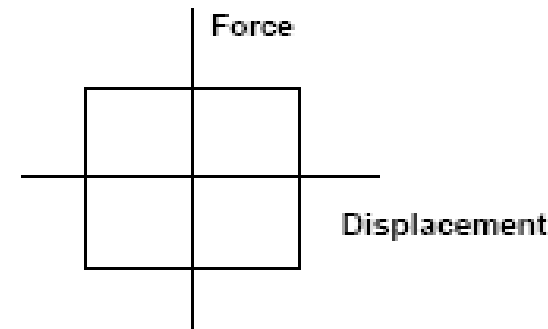
- Μεγάλη οριζόντια ευκαμψία σε συνδυασμό με υψηλή κατακόρυφη δυσκαμψία
- Ικανότητα απόδοσης ενέργειας
 - απόσβεση: ιξώδη, υστερητική ή τριβής
- Ικανότητα οριζόντιας επαναφοράς
- Επαρκής ελαστική δυσκαμψία υπό μη-σεισμικές συνθήκες σχεδιασμού
- Μονωτήρες:
 - επιμέρους στοιχεία που παρέχουν μία ή συνδυασμό των παραπάνω λειτουργιών

Απόδοση Ενέργειας

- Μετακίνηση

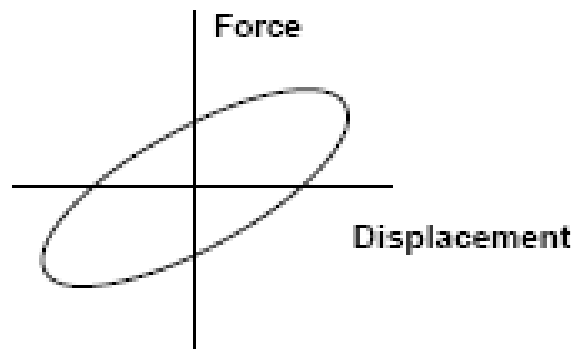


1a. Metallic-yielding damper

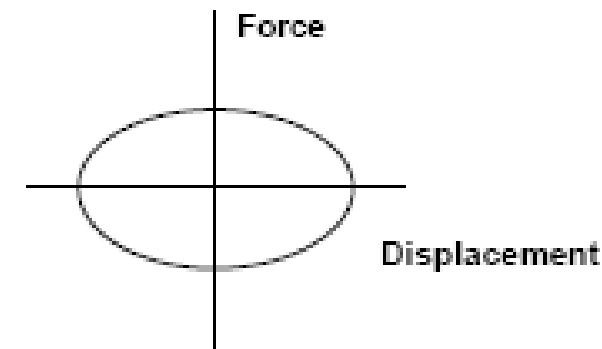


1b. Friction damper

- Ταχύτητα



2a. Viscoelastic damper

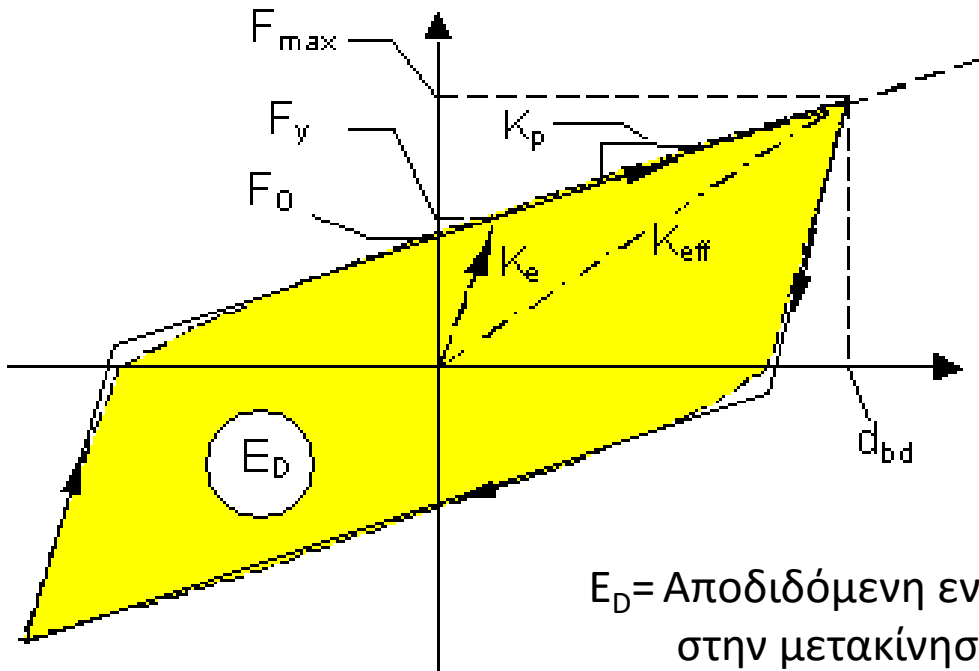


2b. Viscous damper

Συμπεριφορά μονωτήρων

Υστερητική συμπεριφορά

Διγραμμική σχεση $F - d$



Χαρακτηριστικά

Δυνάμεις- Μετ/σεις

- Μέγιστες
- Διαρροής

Δυσκαμψίες

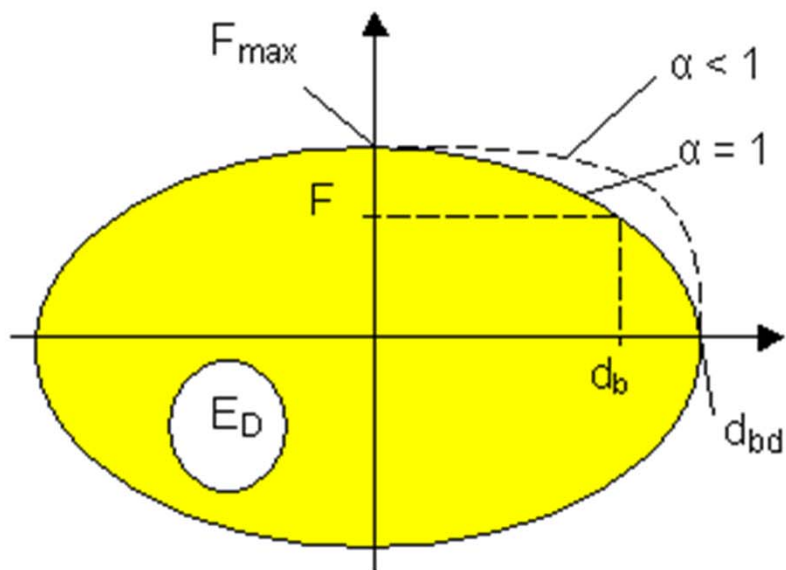
- Ελαστική
- Μετελαστική

$E_D =$ Αποδιδόμενη ενέργεια ανά κύκλο
στην μετακίνηση σχεδιασμού (d_{bd})
= επιφάνεια υστερητικού βρόχου

Συμπεριφορά μονωτήρων

Ιξώδης συμπεριφορά

Αντίδραση ανάλογη προς ταχύτητα: $F = C v^\alpha$



$$d_b = d_{bd} \sin(\omega t) \text{ με } \omega = 2\pi/T_{eff}$$

$$F = Cv^\alpha = F_{max} \cos(\omega t)^\alpha$$

$$F_{max} = C(d_{bd}\omega)^\alpha$$

$$E_D = \lambda(\alpha) F_{max} d_{bd}$$

$$\lambda(\alpha) = 2^{2+\alpha} \frac{\Gamma^2(1+0.5\alpha)}{\Gamma(2+\alpha)}$$

$\Gamma(\cdot)$ = είναι η συνάρτηση Γάμα

Συμπεριφορά μονωτήρων

Ιξώδης Συμπεριφορά - Χαρακτηριστικά

- μέγιστη αντίδραση: $F_{max} = C(d_{bd}\omega)^\alpha$ όταν $v=\max$, δηλαδή όταν $d_b = 0$
- είναι συνάρτηση της ταχύτητας και της κυκλικής συχνότητας $\omega=2\pi/T$ (εκτός αν ο εκθέτης $\alpha << 1$)
- όταν $d = \max = d_{bd} \Rightarrow v = 0$ και $F = 0$. δηλαδή, δεν συμβάλλει στην ενεργό δυσκαμψία του συστήματος ($K_{eff,b} = 0$)
- $E_D = \lambda(\alpha)F_{max}d_{bd}$ όταν $\alpha \leq 0.20 \Rightarrow \lambda(\alpha) \approx 4 \times 0.9$

Μονωτήρες

- Ελαστομεταλλικά Εφέδρανα:
 - Χαμηλής απόσβεσης
 - Υψηλής απόσβεσης
 - Με μόλυβδο
- Ολίσθησης:
 - Εκκρεμούς τριβής
 - Με ικανότητα επαναφοράς
 - Ελαστοπλαστικά
- Συσκευές απορρόφησης Ενέργειας:
 - Ιξώδεις Αποσβεστήρες



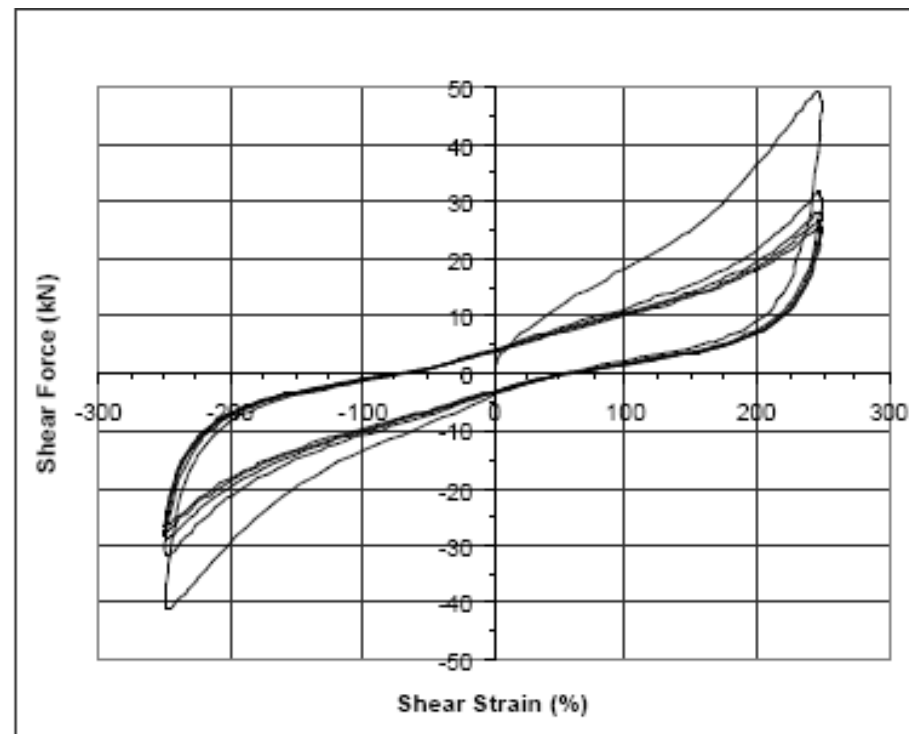
Ελαστομεταλλικά Εφέδρανα

- Χαμηλής απόσβεσης



Ελαστομεταλλικά Εφέδρανα

- Υψηλής απόσβεσης



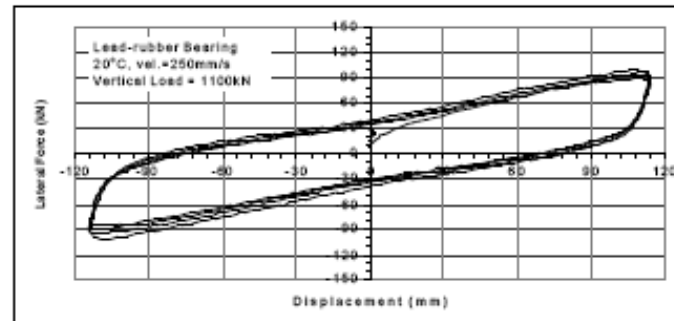
Ελαστομεταλλικά Εφέδρανα

- Μολύβδου

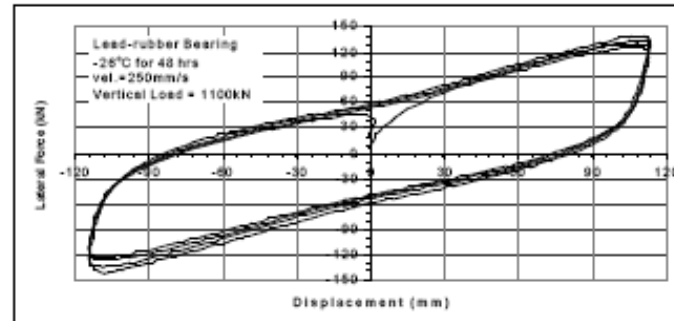


Ελαστομεταλλικά Εφέδρανα

- Μολύβδου



TEMP=20°C

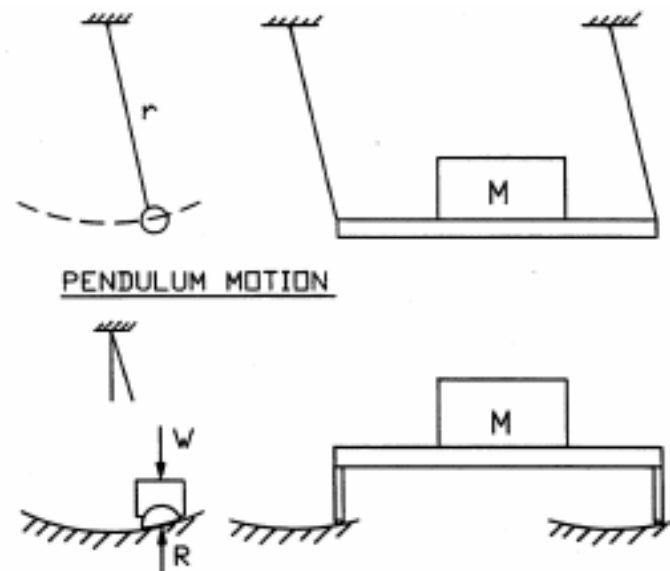
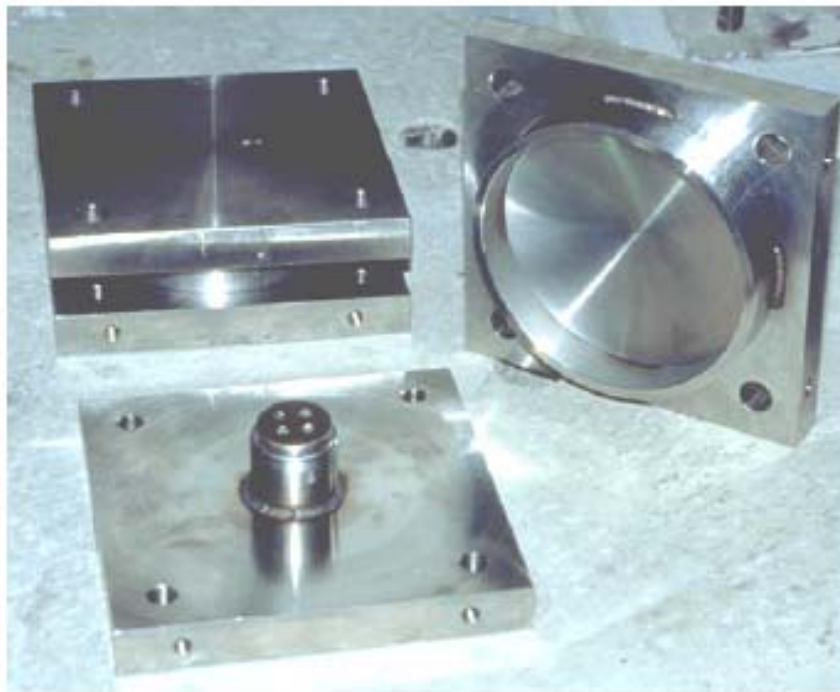


TEMP=-25°C

LEAD-RUBBER BEARING, UNIVERSITY AT BUFFALO
LOAD=1100kN, DISPLACEMENT=100mm, VELOCITY=250mm/sec

Εφέδρανα Ολίσθησης

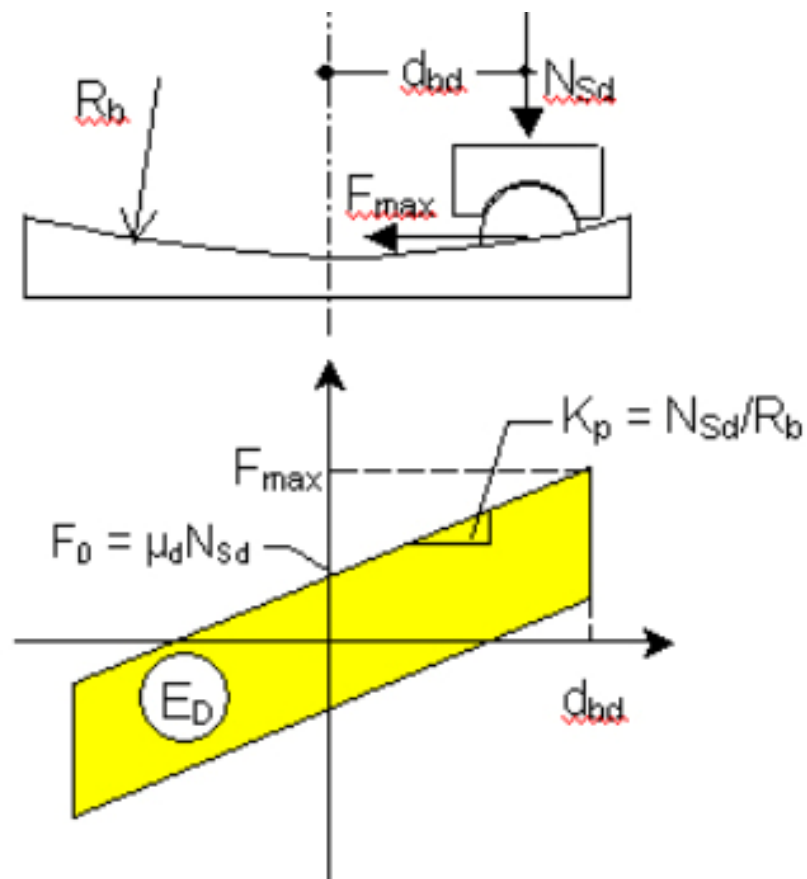
- Εκρεμούς Τριβής



EQUATIONS: PERIOD $T=2\pi\sqrt{F/g}$
STIFFNESS $K = W/r$

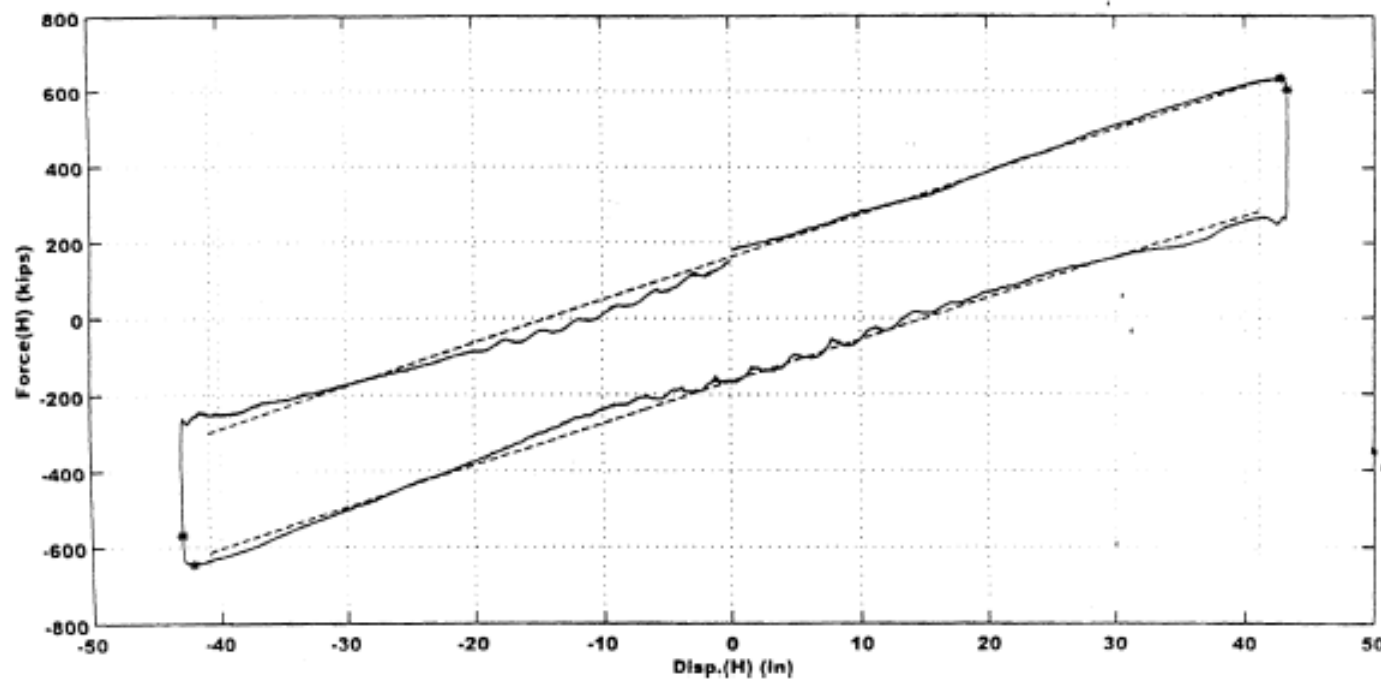
Εφέδρανα Ολίσθησης

- Εκρεμούς Τριβής



Εφέδρανα Ολίσθησης

- Εκρεμμούς Τριβής



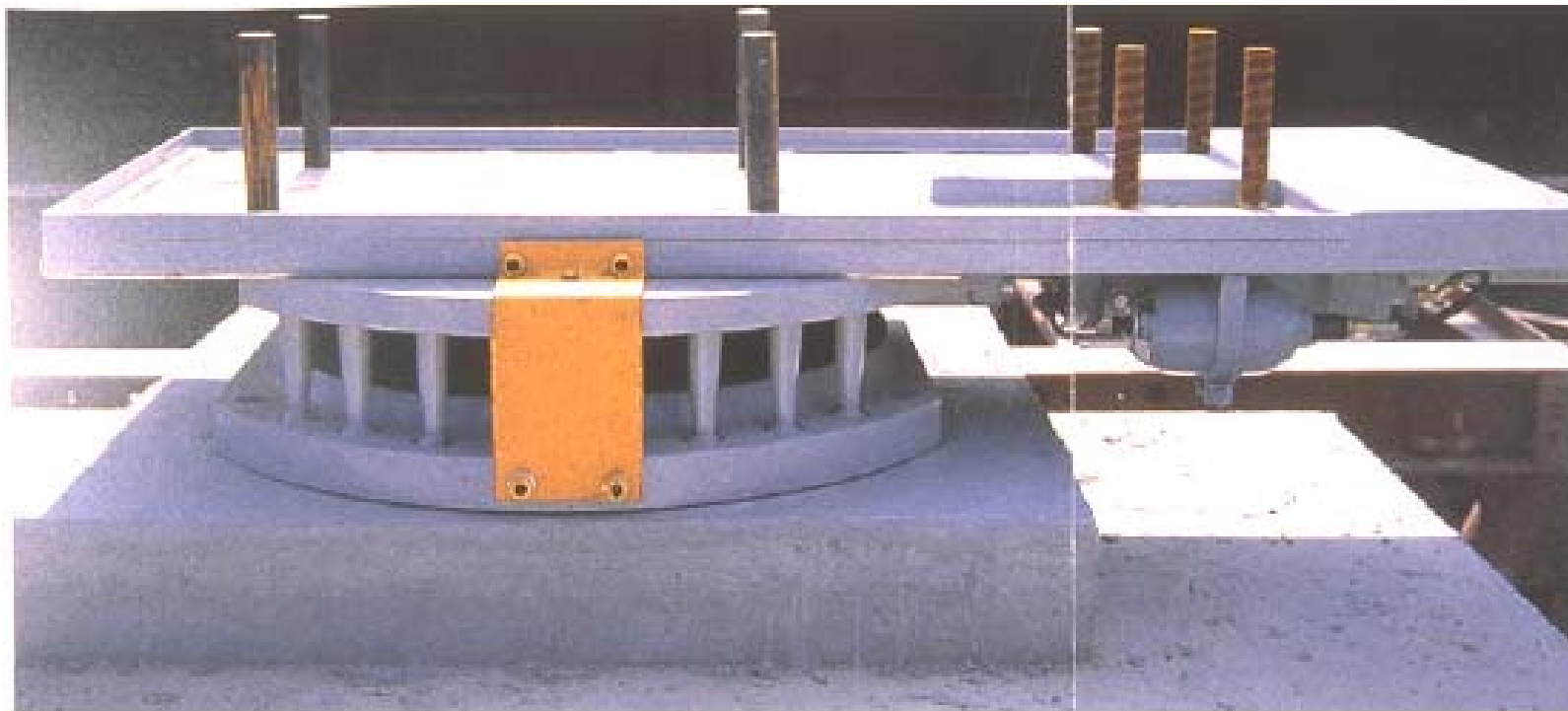
Εφέδρανα Ολίσθησης

- Με ικανότητας Επαναφοράς



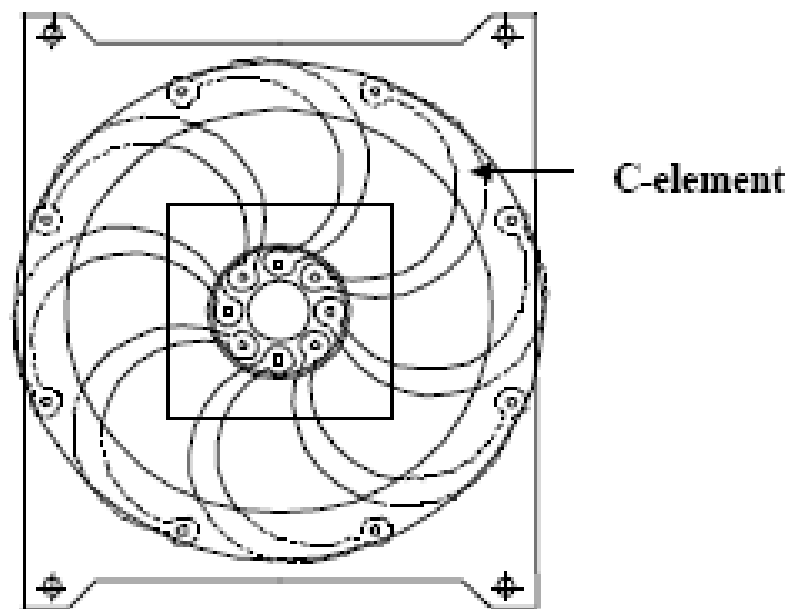
Εφέδρανα Ολίσθησης

- Ελαστοπλαστικά



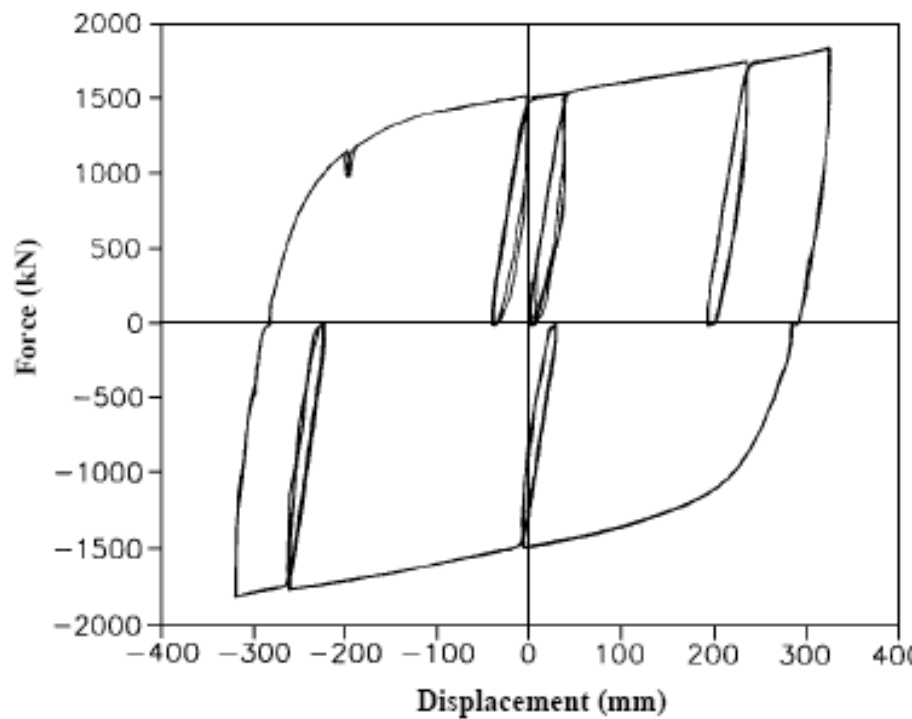
Εφέδρανα Ολίσθησης

- Ελαστοπλαστικά



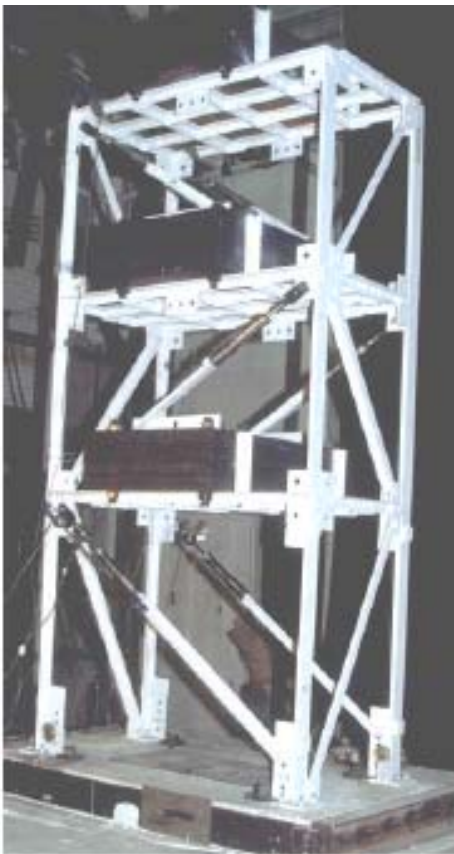
Εφέδρανα Ολίσθησης

- Ελαστοπλαστικά



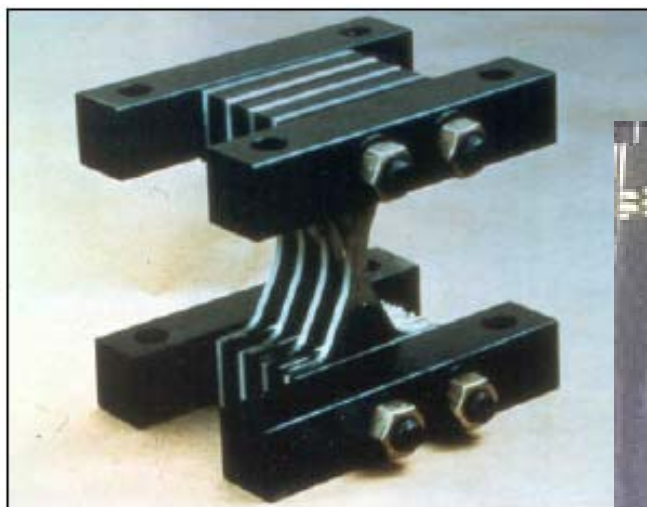
Συσκευές απορρόφησης Ενέργειας

- Αποσβεστήρες



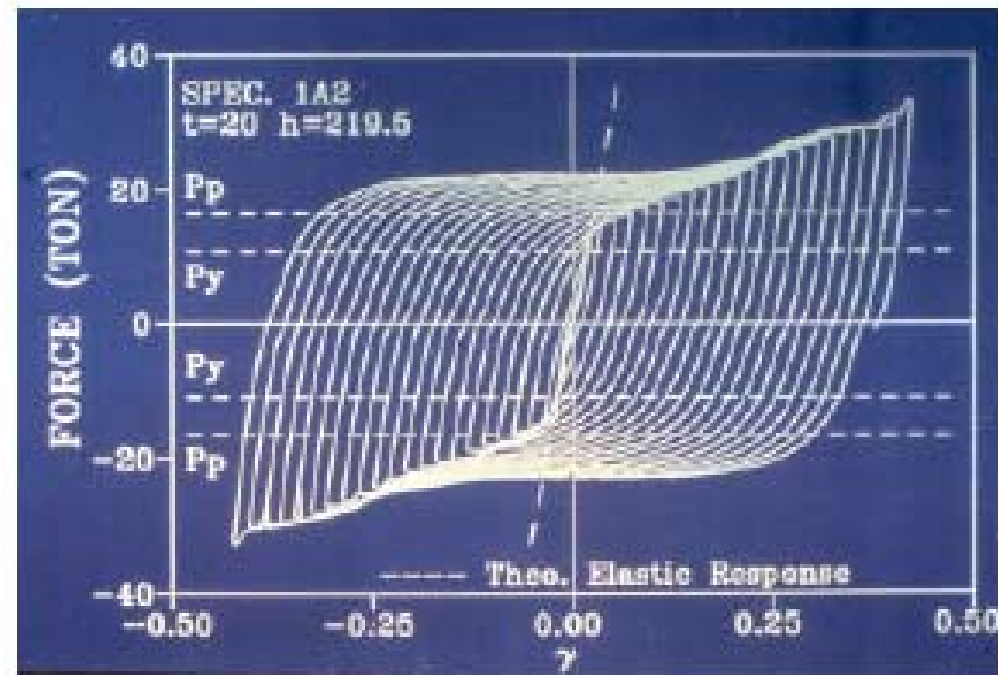
Συσκευές απορρόφησης Ενέργειας

- Αποσβεστήρες



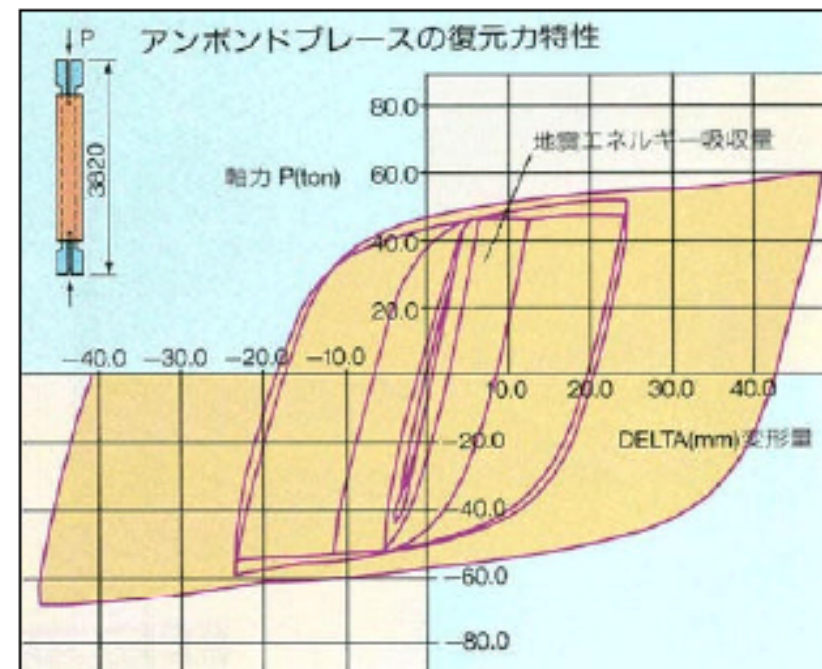
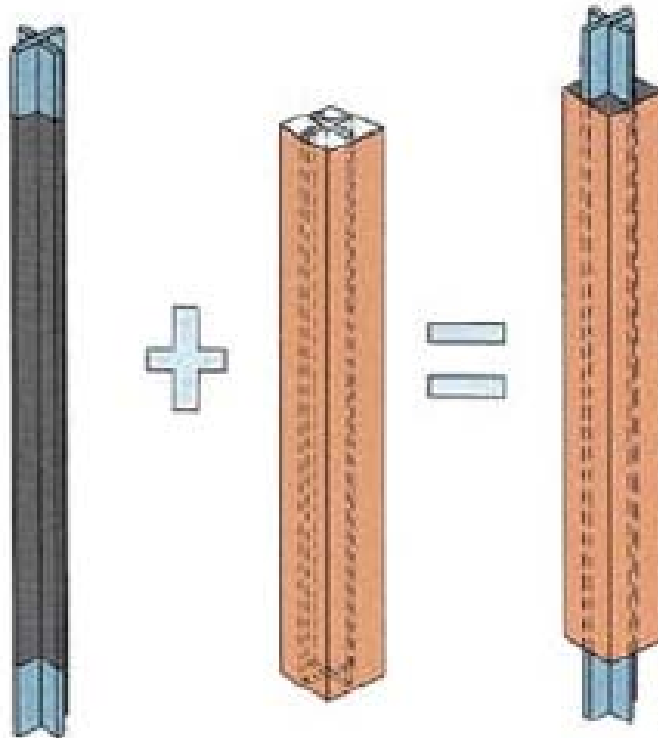
Συσκευές απορρόφησης Ενέργειας

- Αποσβεστήρες



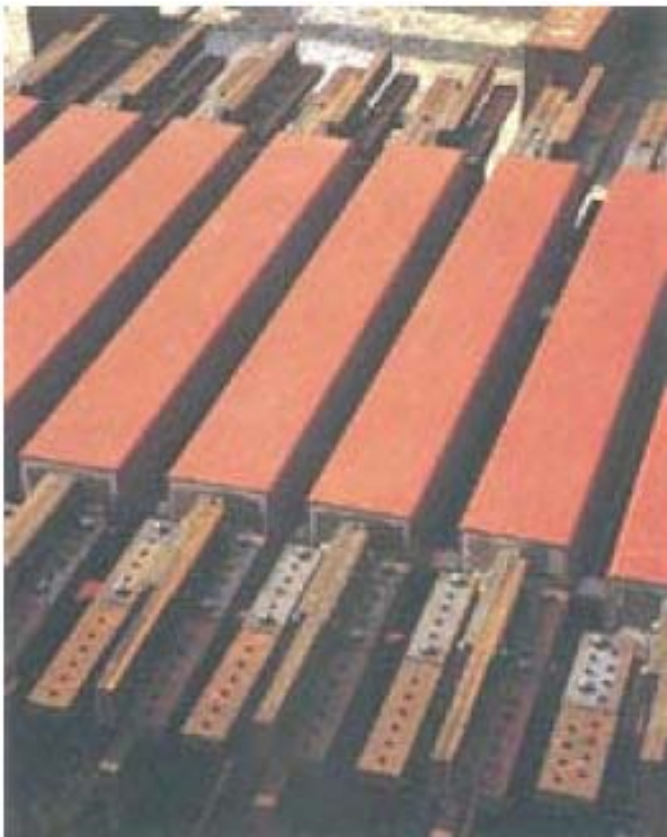
Συσκευές απορρόφησης Ενέργειας

- Αποσβεστήρες



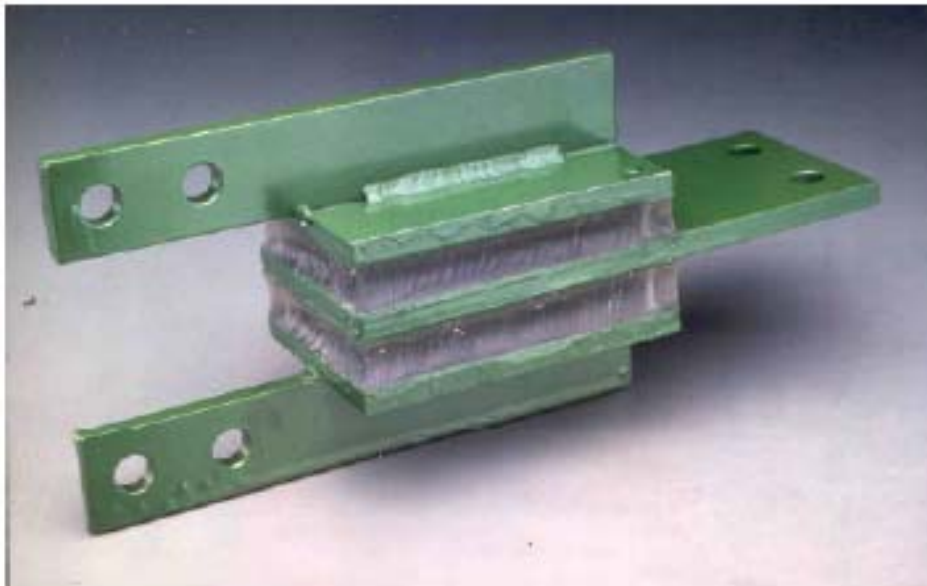
Συσκευές απορρόφησης Ενέργειας

- Αποσβεστήρες



Συσκευές απορρόφησης Ενέργειας

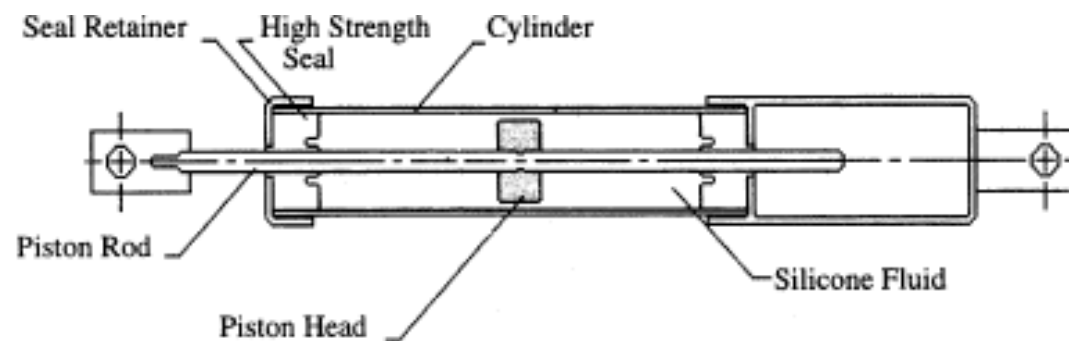
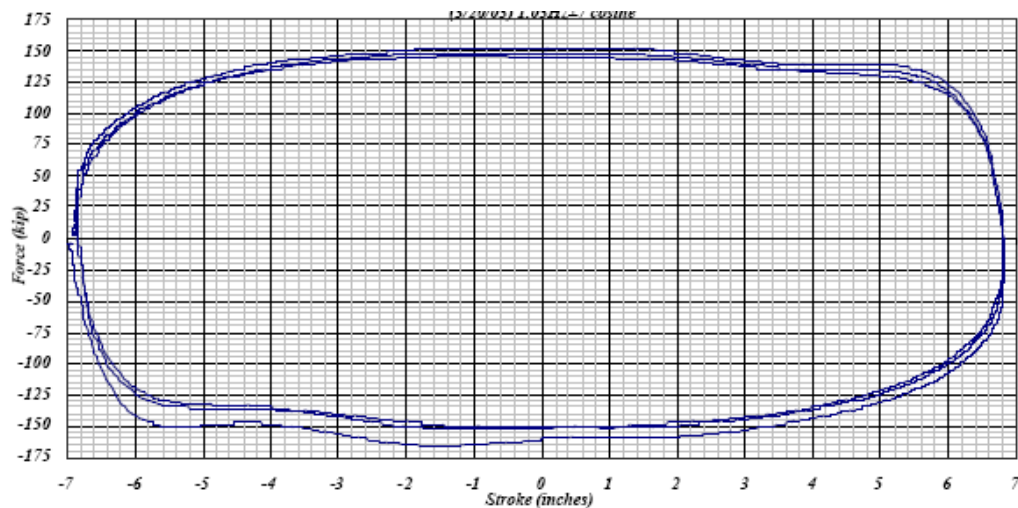
- Αποσβεστήρες



SANTA CLARA COUNTY BUILDING

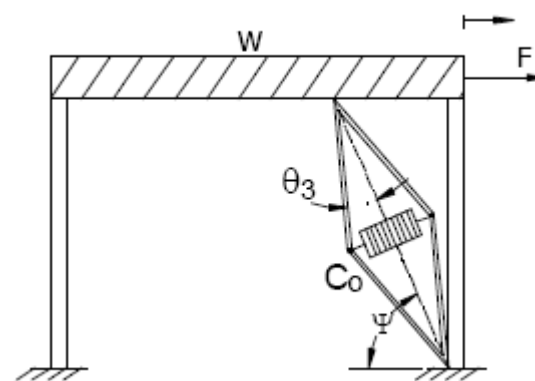
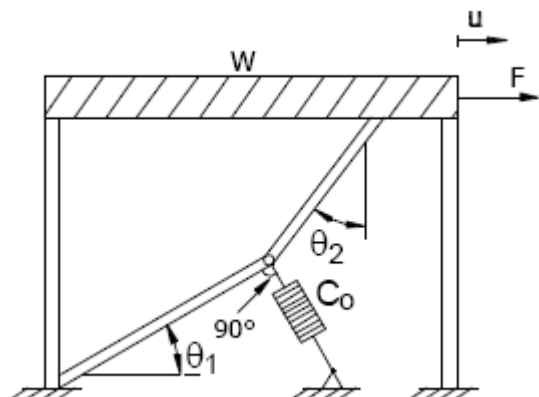
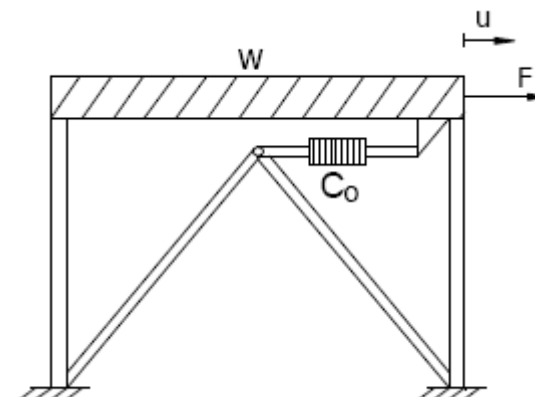
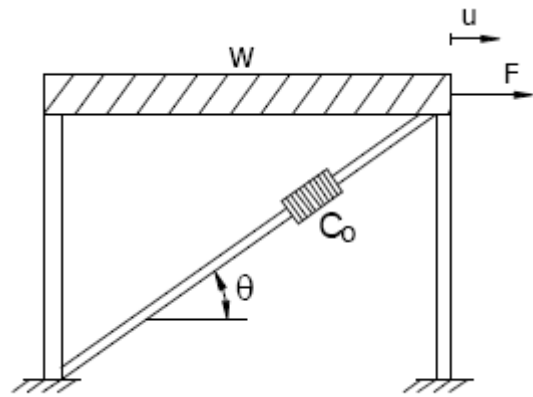
Συσκευές απορρόφησης Ενέργειας

- Αποσβεστήρες



Συσκευές απορρόφησης Ενέργειας

- Αποσβεστήρες



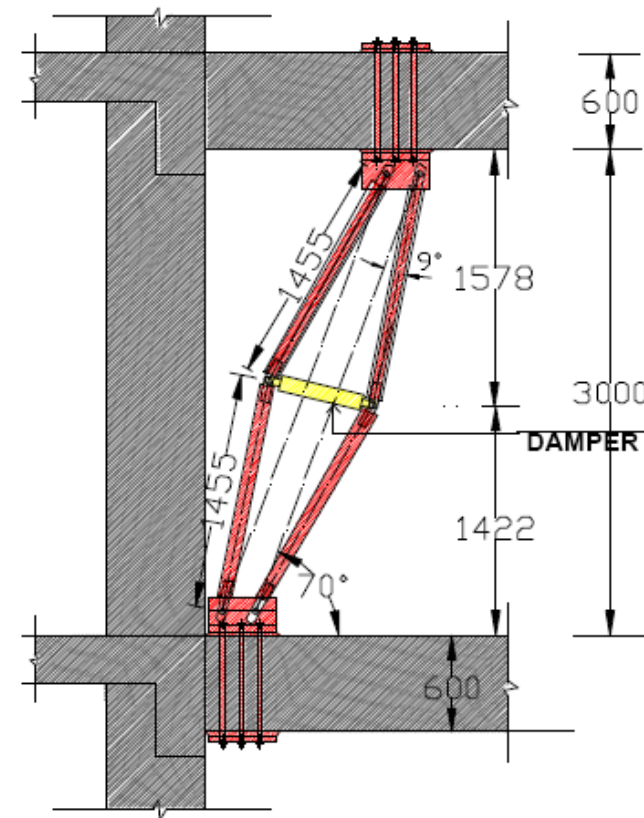
Συσκευές απορρόφησης Ενέργειας

- Αποσβεστήρες



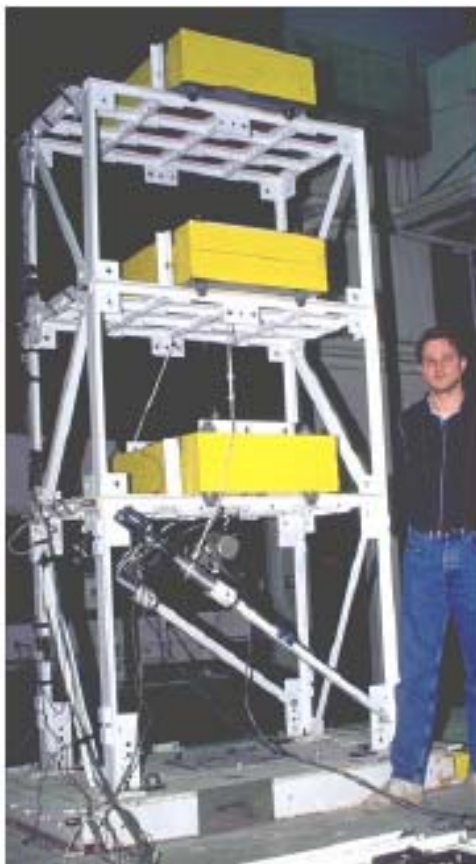
Συσκευές απορρόφησης Ενέργειας

- Αποσβεστήρες



Συσκευές απορρόφησης Ενέργειας

- Ήμι-ενεργά



Εφαρμογές

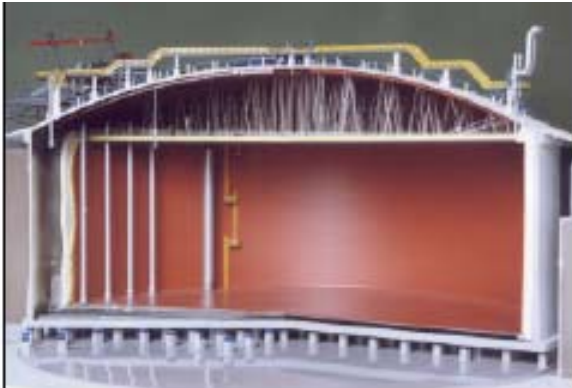
- Δεξαμενές Υγροποιημένου Αερίου (LNG)



LNG TANKS, INCHON, KOREA

Εφαρμογές

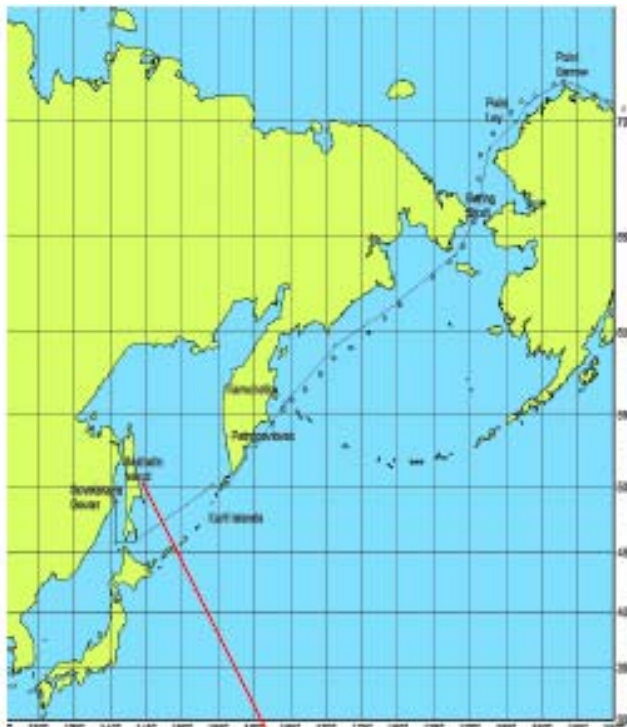
- Δεξαμενές Υγροποιημένου Αερίου (LNG)



LNG TANKS, REVITHOUSSA, GREECE

Εφαρμογές

- Πλατφόρμες



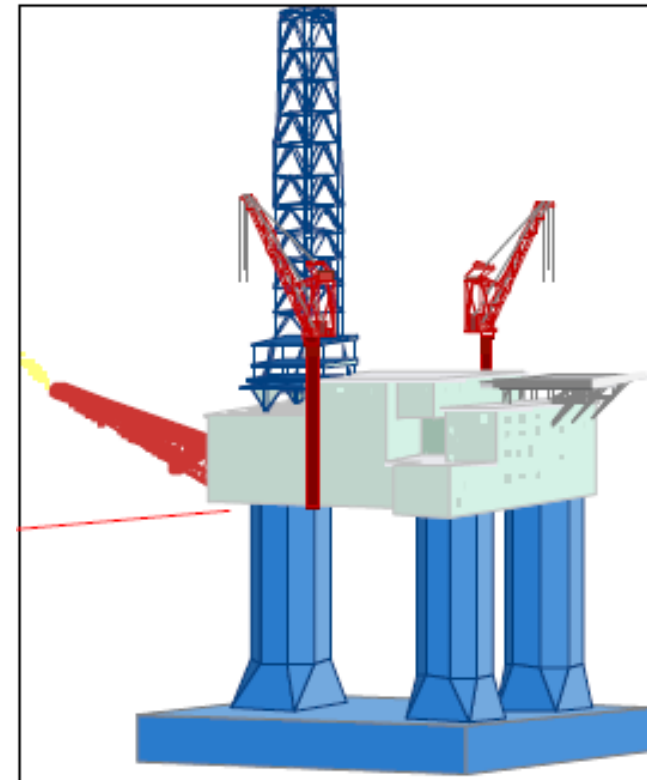
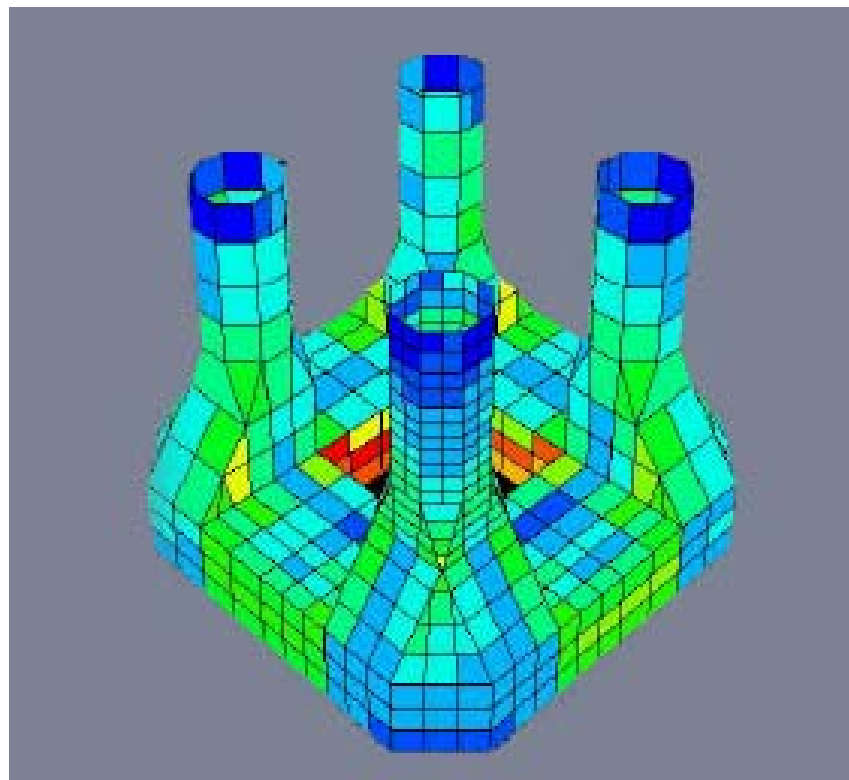
SAKHALIN ISLAND, RUSSIA



OFFSHORE GAS PLATFORM WITH
CONCRETE GRAVITY BASE

Εφαρμογές

- Πλατφόρμες



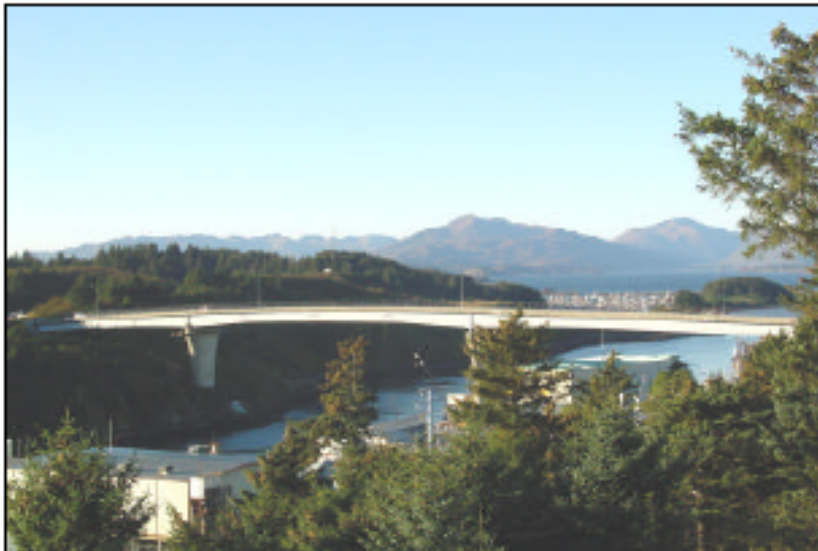
Εφαρμογές

- Γέφυρες



Εφαρμογές

- Γέφυρες



KODIAK, ALASKA
COLD TEMPERATURE APPLICATION
-40 DEG TEMPERATURE

Εφαρμογές

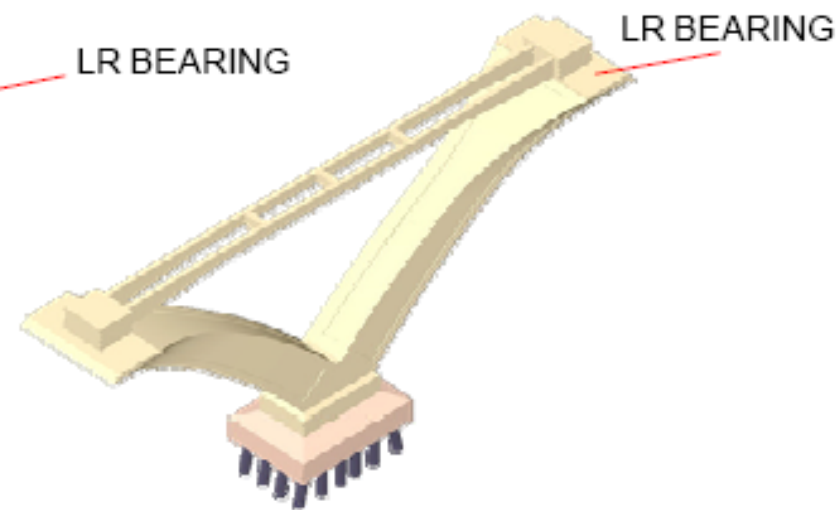
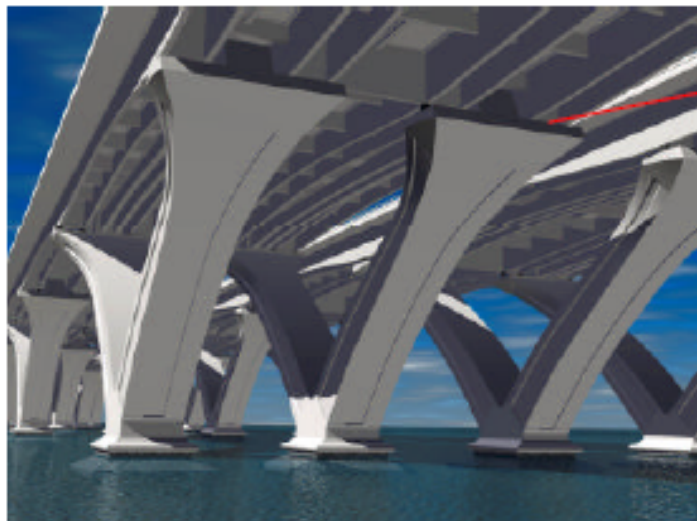
- Γέφυρες



BOLU VIADUCT, TURKEY
2.3 km LONG

Εφαρμογές

- Γέφυρες



Woodrow Wilson
Bridge, 2003

Εφαρμογές

- Γέφυρες



Corinth Canal Bridges

Εφαρμογές

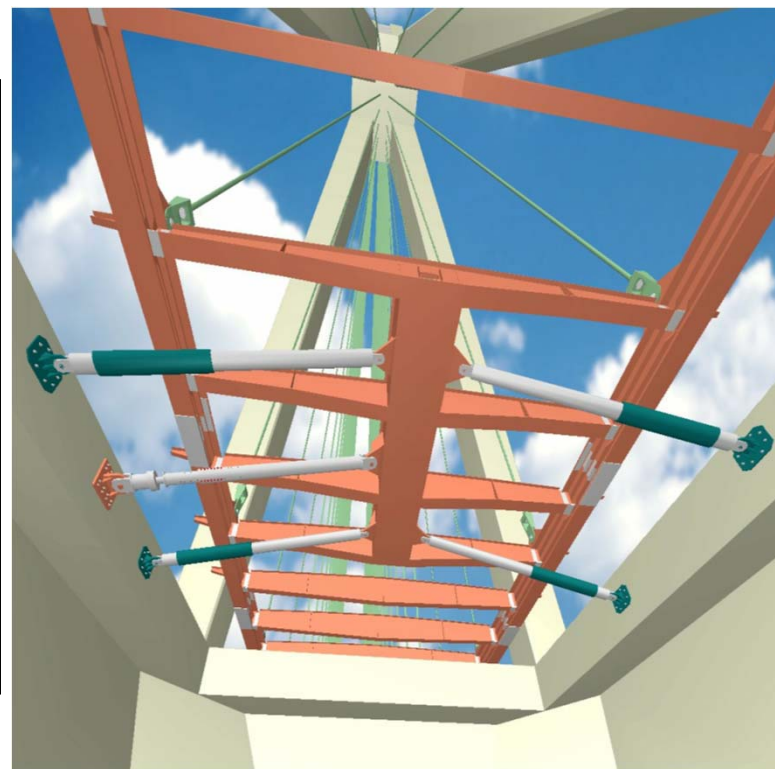
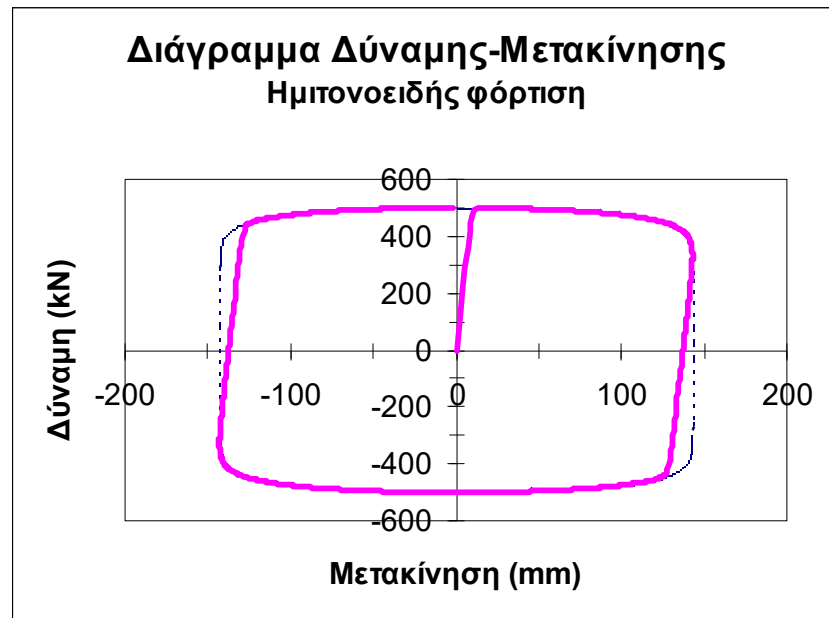
- Γέφυρες



MILLENIUM BRIDGE,

Εφαρμογές

- Γέφυρες



Γέφυρα Ρίου-Αντιρρίου

Δοκιμές

- Εργαστήρια



Δοκιμές

- Εργαστήρια



Σεισμική μόνωση - Κανονιστικό Πλαίσιο

Γενικά

- Ευρωκώδικες:
 - Κτήρια: EN1998-1
 - Γεφυρες: EN1998-2

Στην Ελλάδα σήμερα

- Εγκύκλιος ΥΠΕΧΩΔΕ:
 - Οδηγίες για μελέτη γεφυρών με σεισμική μόνωση
 - Οδηγίες για μελέτη κτηρίων με σεισμική μόνωση

Μεταβλητότητα παραμέτρων σχεδιασμού

Παράμετροι σχεδιασμού μονωτήρων

- Εύρος διακύμανσης Ονομαστικών τιμών:
⇒ ορίζεται από την μελέτη και πιστοποιείται από Δοκιμές Προτύπων
- Επιρροές εξωτερικών παραγόντων:
⇒ λαμβάνονται υπόψη με εκπόνηση της μελέτης για δύο ομάδες τιμών:
 - ❖ ΑΤΠΣ: Ανωτ. Τιμές Παραμέτρων Σχεδιασμού
 - ❖ ΚΤΠΣ: Κατωτ. Τιμές Παραμέτρων Σχεδιασμού

Μεταβλητότητα παραμέτρων σχεδιασμού

Προσδιορισμός ΑΤΠΣ και ΚΤΠΣ:

- είτε με ειδικές δοκιμές
- είτε (για συνήθεις τύπους μονωτήρων) με συντελεστές επιρροής (λ) στα άνω και κάτω όρια των ονομαστικών τιμών

Εξωτερικοί παράγοντες που επιδρούν:

- Θερμοκρασία μονωτήρα
- γήρανση
- ρύπανση
- φθορά (συσσωρευτική διαδρομή)

Μέθοδοι ανάλυσης

- Μη γραμμική ανάλυση χρονοϊστορίας
- Φασματική ανάλυση
- Ανάλυση ισοδύναμου μονοβάθμιου συστήματος

Οι δύο τελευταίες με περιορισμένο πεδίο εφαρμογής

Μέθοδοι ανάλυσης

Προσέγγιση από μονοβάθμιο σύστημα

- Η σημαντικά αυξημένη ευκαμψία των μονωτήρων καθιστά κυρίαρχη την ιδιομορφή που αντιστοιχεί στην παραμόρφωσή τους
- Η μεγάλη δυσκαμψία του φορέα διευκολύνουν την χρήση γενικευμένου μονοβάθμιου συστήματος για κάθε μία διεύθυνση

Μέθοδοι ανάλυσης

Ισορροπία στην θέση μέγιστης μετακίνησης

$$\Downarrow A_{\alpha v} = F_{max}/M$$

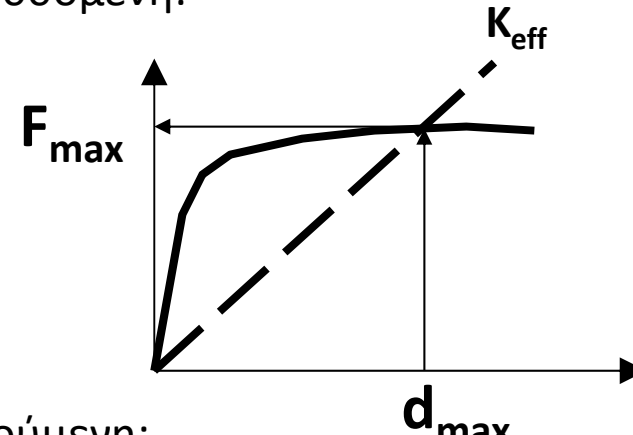
$$\Downarrow K_{eff} = F_{max}/d_{max}$$

$$\Downarrow T_{eff} = 2\pi \sqrt{\frac{M}{K_{eff}}}$$

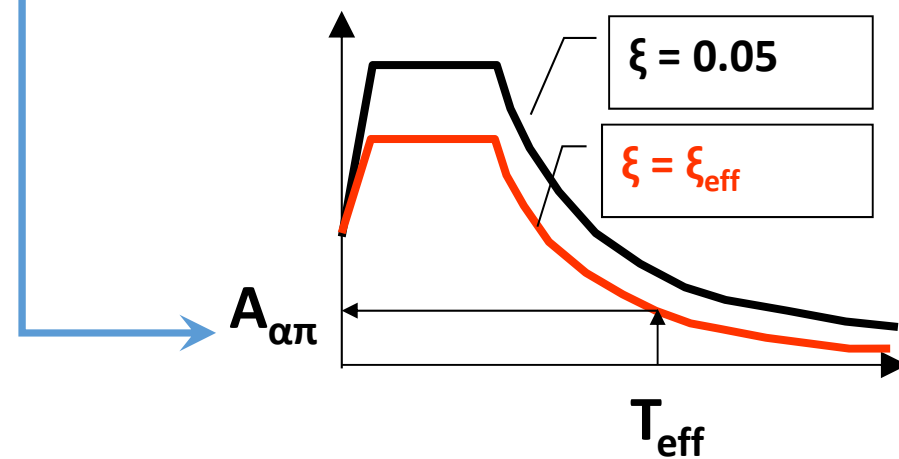
$$\Downarrow \xi_{eff} = \frac{1}{2\pi} \left[\frac{\sum E_{D,i}}{K_{eff} d_{cd}^2} \right]$$

$$\Downarrow \eta_{eff} = \sqrt{\frac{0,10}{0,05 + \xi_{eff}}}$$

Αναπτυσσόμενη:

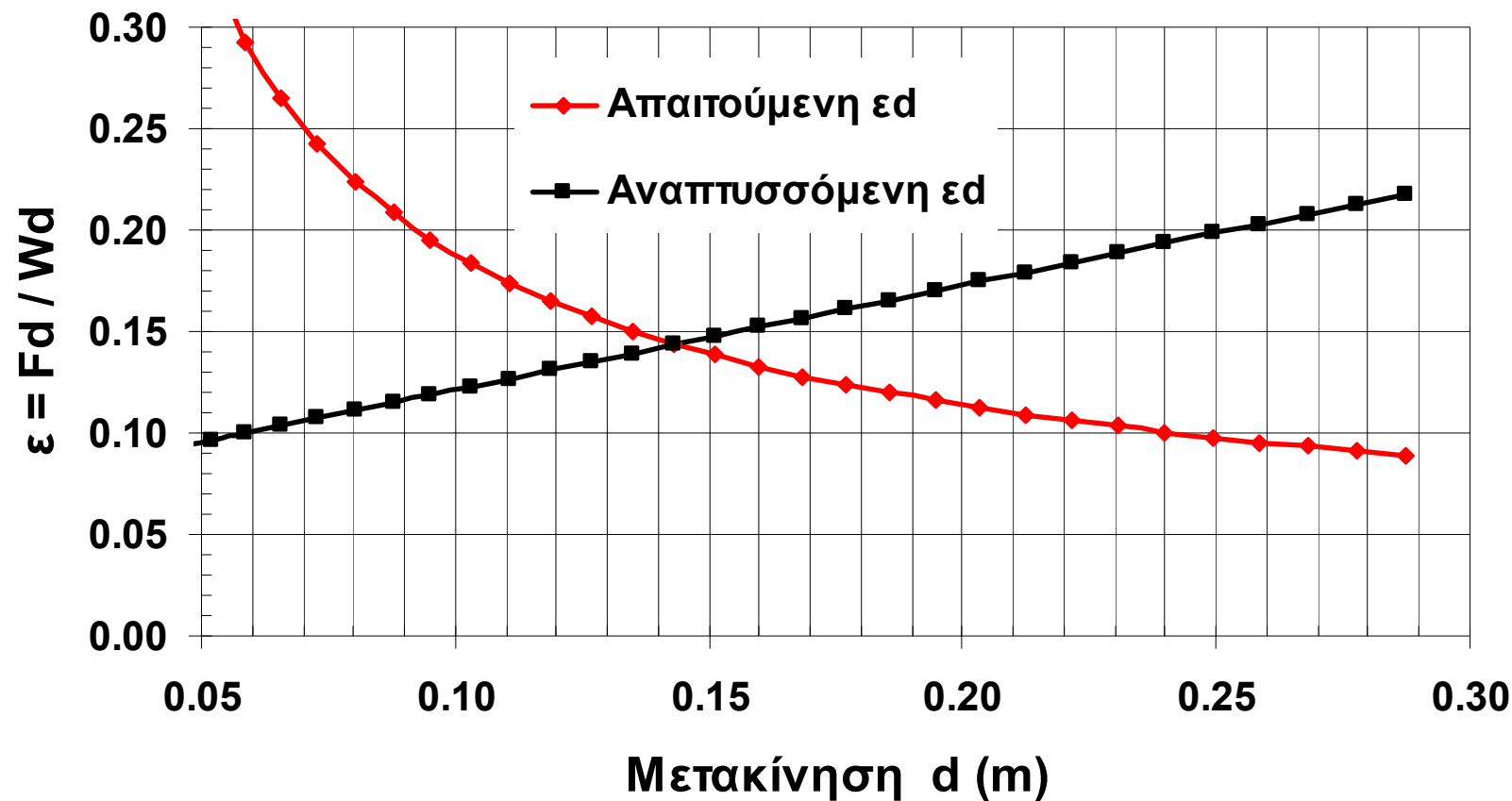


Απαιτούμενη:



Μέθοδοι ανάλυσης

Ισορροπία στην θέση μέγιστης μετακίνησης



Έλεγχοι επάρκειας

Απαιτείται αυξημένη αξιοπιστία

Σεισμική μετακίνηση σχεδιασμού;

$$d_{bi,a} = \gamma_{IS} d_{bi,max} \quad \gamma_{IS} = 1,50$$

Συνολική μετακίνηση:

$$d_{bi,\tau} = d_{bi,a} + d_G$$

Έλεγχοι επάρκειας

Υποδομή και ανωδομή - Εντατικά μεγέθη σχεδιασμού

Έλεγχοι πλάστιμων μορφών αστοχίας:

$$E_E = E_A/q \text{ με } q \leq 1,50$$

Έλεγχοι ψαθυρών μορφών αστοχίας και εδάφους θεμελίωσης:

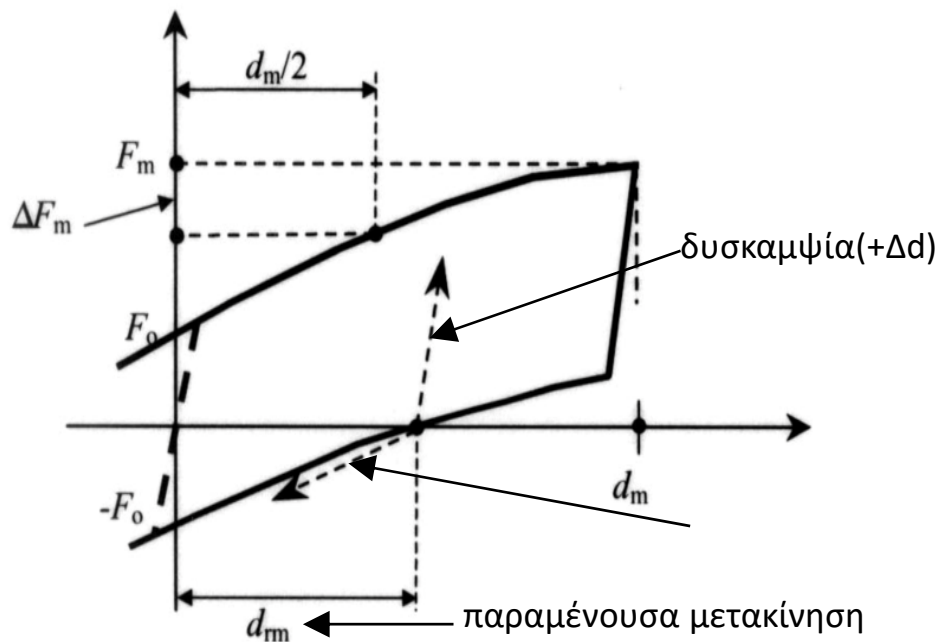
$$E_E = E_A$$

Έλεγχοι επάρκειας

Ειδικές απαιτήσεις για το σύστημα σεισμ. μόνωσης

Ικανότητα οριζόντιας επαναφοράς

παραμένουσα μετακίνηση μικρή ως προς την ικανότητα d_m , είτε
σε εκκίνηση από d_{rm} : δυσκαμψία($+\Delta d$) >> δυσκαμψία($-\Delta d$)

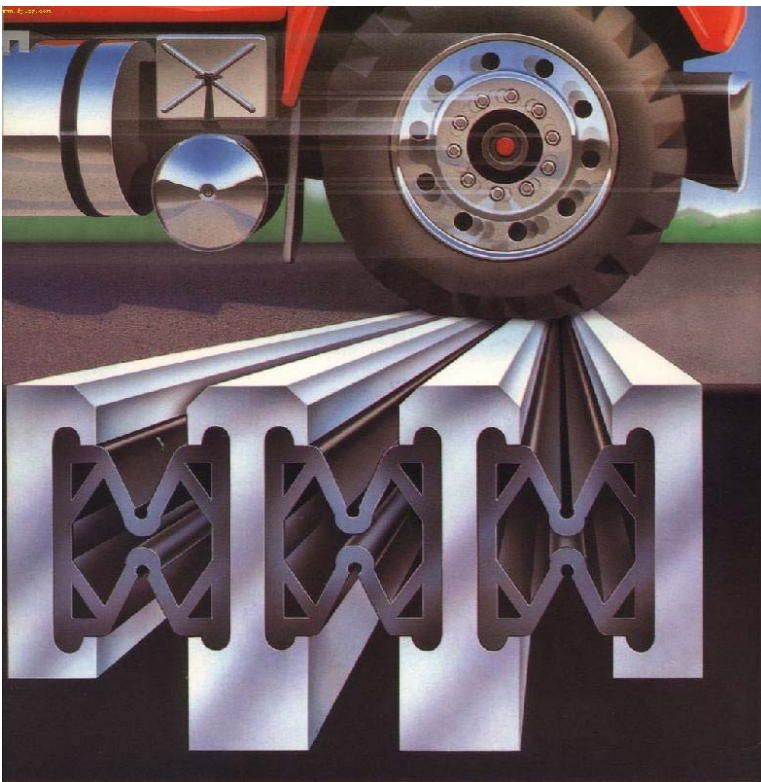


Ποσοτικά κριτήρια

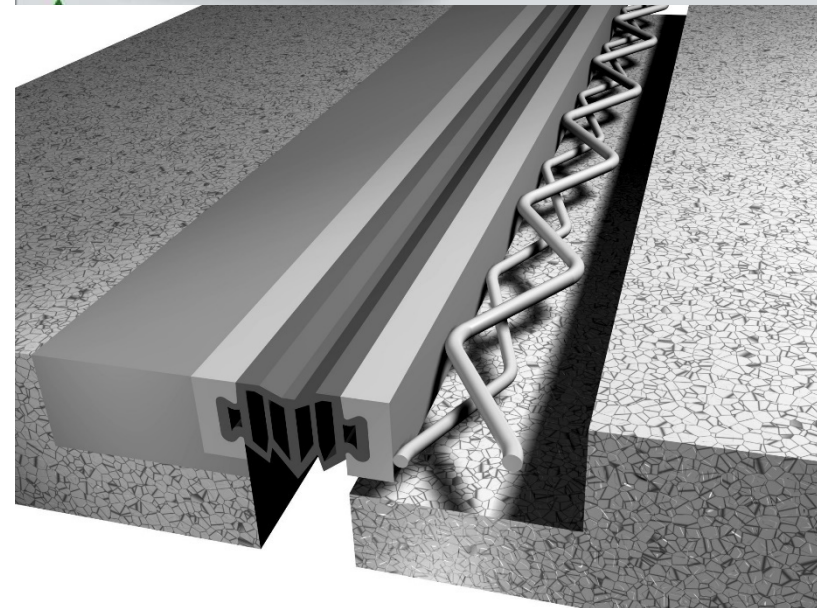
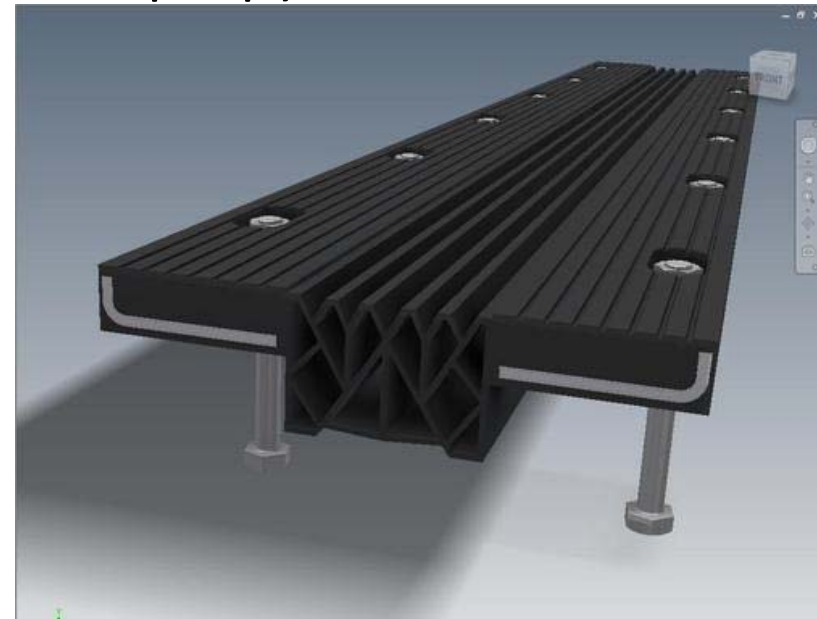
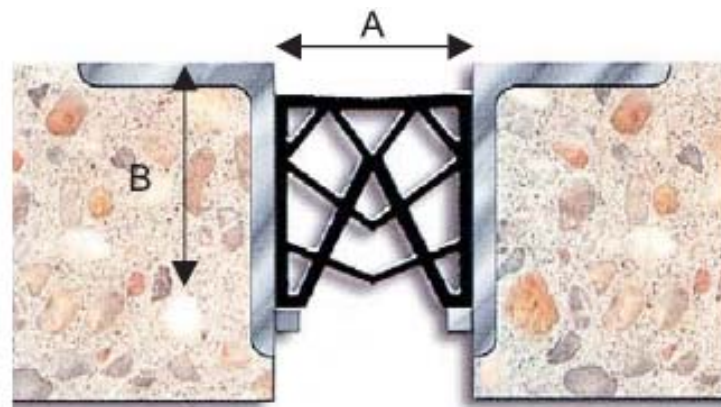
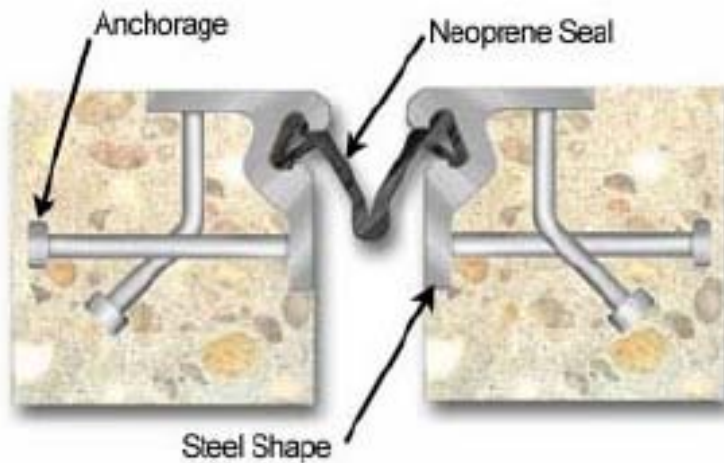
$$\Delta F_m \geq 0,015 W_d d_{rm} / d_m$$

$$\text{και } d_{rm} \leq d_m - 0,5 d_{da,max}$$

Αρμοί γεφυρών

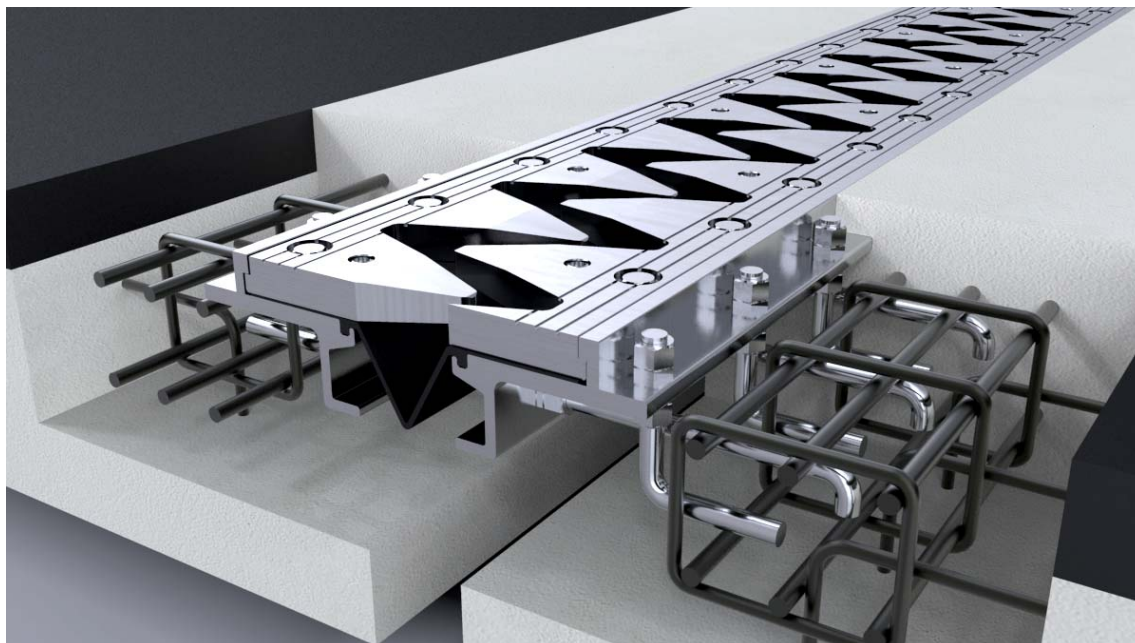


Αρμοί μικρής ικανότητας μετακίνησης



Άρμοί τύπου «κτένας»

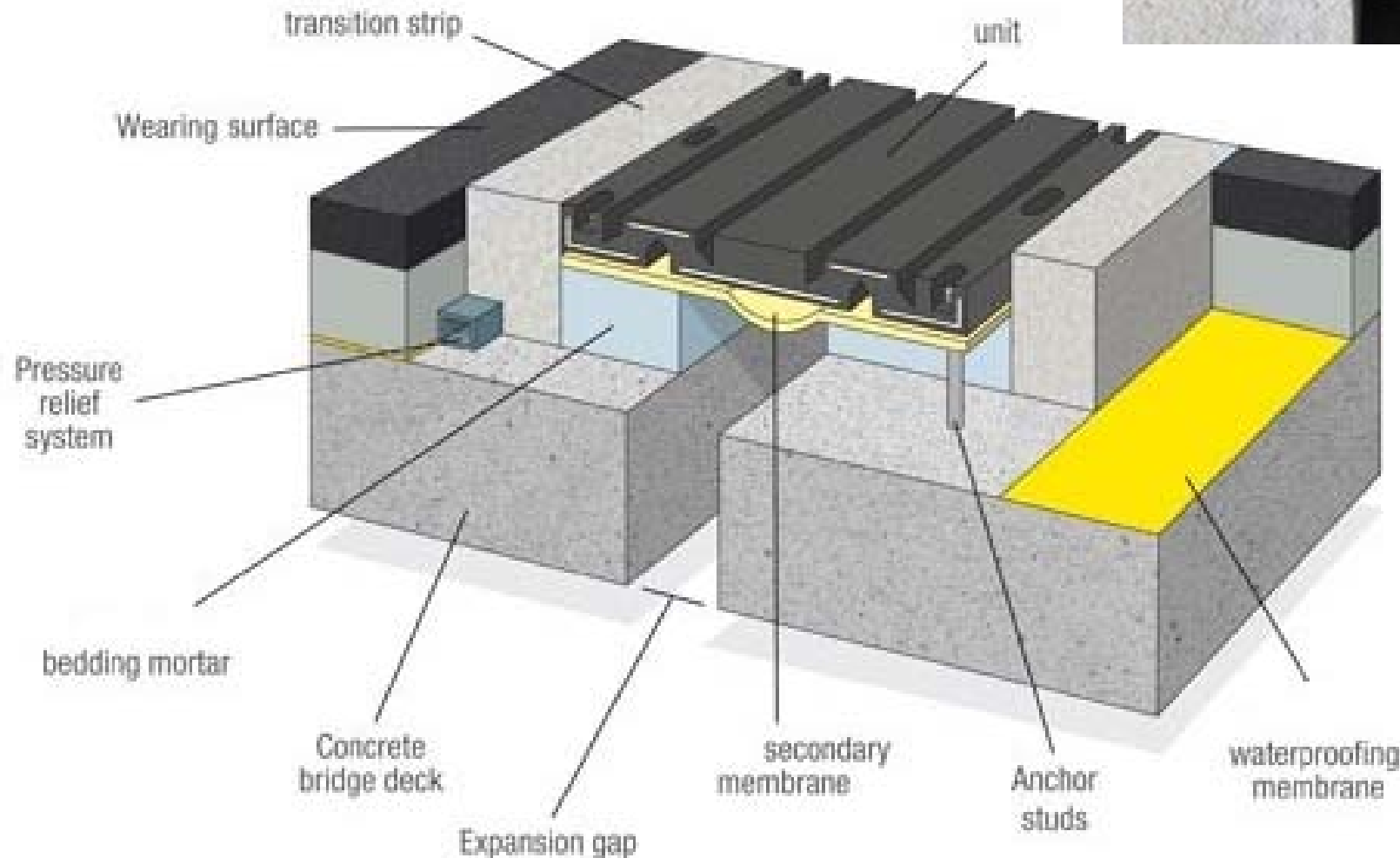
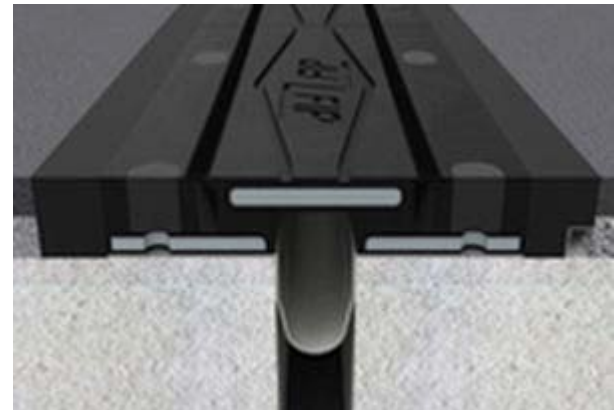
μικρής μετακίνησης



μεγάλης μετακίνησης



Ελαστομεταλλικό αρμόί



Άρμοί μεγάλης ικανότητας μετακίνησης

